

## ЭЛЕКТРОПРОВОДНОСТЬ $n^+ - n - n^+$ -СТРУКТУР GaAs МИКРОННОЙ И СУБМИКРОННОЙ ДЛИН В СЛАБО ГРЕЮЩЕМ ЭЛЕКТРИЧЕСКОМ ПОЛЕ

Денис В., Мартунас З., Шяткус А.

На микронных и субмикронных  $n^+ - n - n^+$ -структурах GaAs (длина  $n$ -области  $L = 0.25 \div 8$  мкм, а концентрация электронов в ней  $2 \cdot 10^{17}$  см $^{-3}$ ) в слабо греющих электрических полях ( $\leq 100$  В/см) при температурах решетки 295  $\div$  78 К измерены зависимости коэффициента нелинейности вольтамперной характеристики  $\beta$  от длины  $L$ . Обнаружено, что уменьшение  $L$  до величин, соизмеримых с характерной длиной остыивания электронов, приводит к значительному падению абсолютного значения  $\beta$ . Показано, что основной причиной эффекта является теплопроводность электронного газа, обуславливающая вынос энергии теплых электронов через контакт и понижение степени среднего по объему разогрева носителей заряда в  $n$ -области.

В литературе имеется много работ, посвященных изучению явлений переноса в структурах  $n$ -GaAs субмикронной длины (обзор см., например, в [1]). Главная цель большинства этих исследований заключается в реализации условий для баллистического или близкого к нему квазибаллистического переноса заряда. Однако в полупроводниковых структурах, размеры которых порядка диффузионной длины остыивания носителей заряда  $L_e$ , в сильных электрических полях могут проявляться обусловленные диффузионными процессами размерные эффекты, что при уменьшении поперечных размеров образцов  $n$ -Si экспериментально обнаружено в работе [2], а для коротких структур  $n$ -Si теоретически предсказано в статье [3]. В данной работе на основе анализа экспериментальных результатов исследования переноса заряда в структурах  $n^+ - n - n^+$ -GaAs субмикронной длины показано, что обусловленный диффузионными процессами вынос энергии через контакт оказывает сильное влияние на степень разогрева электронов в  $n$ -области.

Образцы изготавливались из эпитаксиальных слоев сильно легированного  $n$ -GaAs, выращенного на подложке из полуизолирующего GaAs. Концентрация электронов в слое была  $2 \cdot 10^{17}$  см $^{-3}$ . Температурная зависимость холловской подвижности  $\mu$  показана на рис. 1. На вставке к тому же рисунку приведено схематическое изображение исследованных структур. Длина активной части слоя менялась в пределах  $L = 0.25 \div 8$  мкм. Омические контакты формировались на  $n^+$ -слое. При анализе результатов учитывалось перераспределение приложенного напряжения, обусловленное наличием контактного сопротивления.

Если эксперименты проводить в сильных электрических полях, когда дрейфовая скорость электронов  $v_d$  становится порядка  $10^7$  см/с, то за время релаксации энергии  $\tau_e$ , значение которого  $\sim 10^{-12}$  с, электроны пройдут расстояние  $\lambda_e = \tau_e v_d \sim 0.1$  мкм. Кроме того, с разогревом носителей заряда уменьшается интенсивность их взаимодействия с ионизированными примесями, которые доминируют в рассеянии импульса, в результате чего длина баллистического пробега электронов  $\lambda_p = \tau_p v_d$  также может стать соизмеримой с наименьшей длиной исследованных структур. Поэтому, чтобы с уверенностью отмежеваться от размерных эффектов, обусловленных дрейфом носителей заряда, исследования были проведены в условиях слабого разогрева. В структурах различной длины

определялось значение коэффициента нелинейности вольтамперной характеристики  $\beta$ , определяемого соотношением

$$j = \sigma_0 (1 + \beta E^2) E, \quad (1)$$

где  $j$  — плотность тока,  $E$  — напряженность электрического поля в  $n$ -области и  $\sigma_0$  — удельная электропроводность  $n$ -области. Измерения проводились по методике смешивания двух частот, описанной в [4]. Значения  $E$  во всех проведенных экспериментах были меньше 100 В/см. В таких условиях значения введенных ранее параметров  $\lambda_e$  и  $\lambda_p$  не превышают  $10^{-2}$  мкм, что существенно меньше минимальной длины исследованных структур.

На рис. 2 показана типичная температурная зависимость коэффициента  $\beta$  для структуры длиной 3 мкм, а на рис. 3 — зависимости  $\beta$  от длины активного слоя при различных температурах решетки. Видно, что уменьшение длины

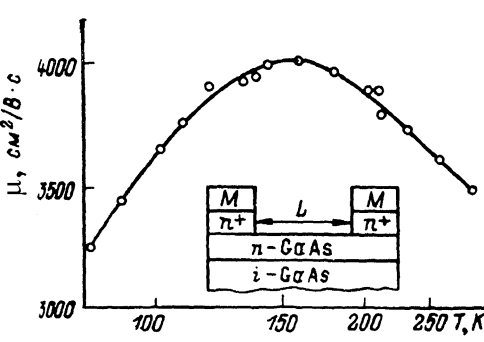


Рис. 1. Зависимость подвижности электронов от температуры для структуры длиной 3 мкм.

На вставке — схематическое изображение исследованных структур:  $M$  — металлизация,  $n^+$  — слой GaAs с концентрацией электронов  $\sim 10^{10} \text{ см}^{-3}$ ,  $n$ -GaAs — слой толщиной 0.15 мкм с концентрацией  $2 \cdot 10^{17} \text{ см}^{-3}$ ;  $i$ -GaAs — подложка из полуизолирующего GaAs.

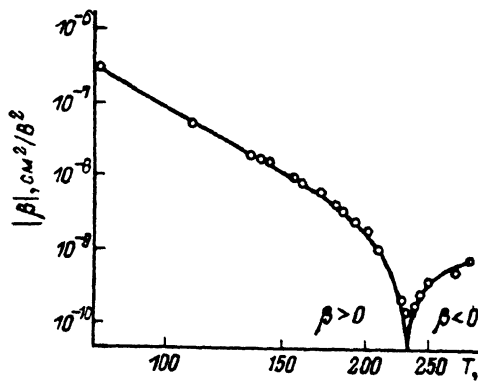


Рис. 2. Температурная зависимость коэффициента  $\beta$  для структуры длиной 3 мкм.

образца приводит к значительному падению абсолютной величины коэффициента  $\beta$ , причем характер зависимости сохраняется во всем исследованном температурном интервале.

Основной причиной обнаруженного размерного эффекта, на наш взгляд, является вынос энергии, приобретаемой от электрического поля в  $n$ -области через контакты путем переноса тепла в электронной системе. При строгом анализе полученных экспериментальных результатов на основе решения уравнения теплопроводности электронного газа помимо выделяющегося в  $n$ -области джоулева тепла мы должны учитывать также эффекты Пельтье и Томсона. Оценки показывают, что тепло Томсона мало. Выделение же тепла Пельтье, которое в условиях эксперимента по своей величине одного порядка с теплом Джоуля, происходит в приконтактной области, ширину которой в предположении ступенчатого  $n^+ - n$ -перехода по порядку равна  $10^{-2}$  мкм и много меньше длины исследованных структур. Следовательно, тепло Пельтье очень эффективно будет передаваться в  $n^+$ -область, и поэтому в нашем качественном анализе эффектом Пельтье мы также будем пренебрегать. С учетом принятых упрощений уравнение теплопроводности для плоской  $n^+ - n - n^+$ -структуре принимает следующий вид:

$$\epsilon \mu E^2 - \frac{3}{2} k_B \frac{\Delta T_e}{\tau_e} + \frac{\chi_e}{n} \frac{\partial^2 \Delta T_e}{\partial x^2} = 0. \quad (2)$$

Здесь ось  $x$  направлена перпендикулярно плоскостям  $n^+ - n$ -переходов,  $T_e$  — температура электронов,  $\Delta T_e(x) = T_e(x) - T$ ,  $n$  — концентрация электронов,  $\chi_e$  — теплопроводность электронной системы. Первый член уравнения (2) опи-

сывает энергию, приобретаемую от электрического поля, второй — передачу энергии электронами решетке, а третий учитывает тепловой поток, возникающий в окрестности  $n^+ - n$ -переходов вследствие наличия градиента электронной температуры. Отождествив начало координат с одним из  $n^+ - n$ -переходов и имея в виду то, что из-за большой разности концентраций  $n^+$ -область можно рассматривать как термостат, граничные условия для уравнения (2) представим в виде

$$\Delta T_e(x=0) = \Delta T_e(x=L) = 0, \quad (3)$$

где  $L$  — длина  $n$ -области. Решение уравнения (2) с учетом указанных граничных условий имеет вид

$$\Delta T_e(x) = \Delta T_{e0} \left[ 1 - \exp\left(-\frac{x}{L_T}\right) - 1 - \exp\left(-\frac{L}{L_T}\right) \frac{\operatorname{sh} \frac{x}{L_T}}{\operatorname{sh} \frac{L}{L_T}} \right], \quad (4)$$

где введены обозначения

$$\Delta T_{e0} = \frac{2}{3} \frac{e\mu\tau_e}{k_B} E^2, \quad (5)$$

$$L_T = \left( \frac{2}{3} \frac{e\mu\tau_e}{k_B n} \right)^{1/2}. \quad (6)$$

Неоднородность разогрева электронов обусловливает зависимость электропроводности от координаты. Следовательно, измеряемое значение  $\beta$  будет отражать среднее значение изменения проводимости. Анализ протекания тока через структуру в таких условиях показывает, что

$$\beta \sim \frac{\overline{\Delta T}_e}{E^2}, \quad (7)$$

где  $\overline{\Delta T}_e$  — среднее значение изменения электронной температуры в  $n$ -области. Отсюда для зависимости  $\beta$  от длины  $n$ -области получаем

$$\beta(L) = \beta_0 \frac{\overline{\Delta T}_e}{\Delta T_{e0}}, \quad (8)$$

где  $\beta_0$  — значение коэффициента нелинейности в длинной ( $L \gg L_T$ ) структуре. Проведя усреднение выражения (4) по всей длине  $n$ -области, находим

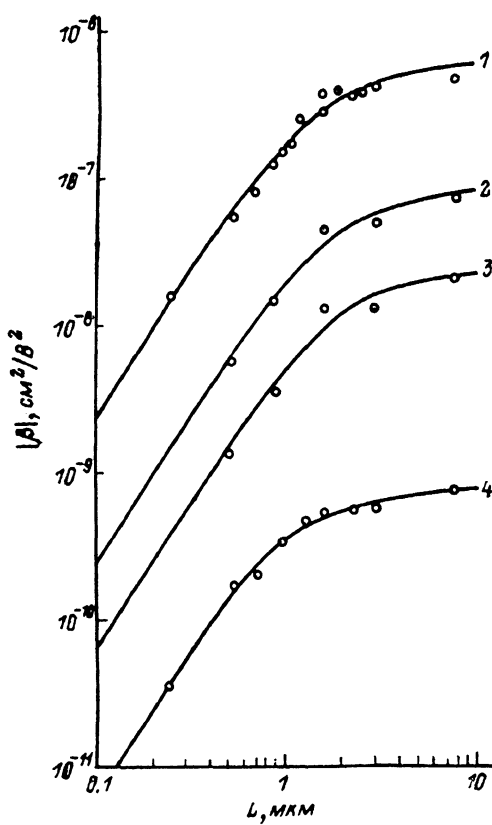


Рис. 3. Зависимость коэффициента  $\beta$  от длины структуры при различных температурах.

$T, K: 1 - 78, 2 - 120, 3 - 160, 4 - 290$ . Точки — эксперимент. Сплошные линии вычислены по формуле (9) при  $\beta_0, \text{ см}^2/\text{В}^2 (L_T, \text{ мкм}): 1 - 6.5 \cdot 10^{-7} (0.48 \pm 0.05); 2 - 9 \cdot 10^{-8} (0.55 \pm 0.09); 3 - 2.5 \cdot 10^{-8} (0.57 \pm 0.11); 4 - 8 \cdot 10^{-10} (0.31 \pm 0.03)$ .

$$\beta(L) = \beta_0 \left[ 1 - 2 \frac{L_T}{L} \left( \operatorname{cth} \frac{L}{L_T} - \operatorname{csch} \frac{L}{L_T} \right) \right]. \quad (9)$$

С помощью данного выражения мы попытались описать наши экспериментальные данные, варьируя значения  $\beta_0$  и  $L_T$ . Зависимости  $\beta(L)$ , дающие наилучшее

совпадение с экспериментом, показаны на рис. 3 (сплошные линии). Полученное хорошее совпадение является веским аргументом в пользу правильности предложенной модели.

Оценим теперь величину параметра  $L_T$  с помощью выражения (6). Для этого преобразуем его, используя соотношение [5],

$$z_e = (r+2) \left( \frac{k_B}{e} \right)^2 T \sigma = (r+2) \frac{k_B^2 n \mu T}{e}, \quad (10)$$

где  $r$  — параметр, характеризующий зависимость длины свободного пробега электрона от его энергии  $\epsilon$ :  $l \sim \epsilon^r$ . В исследованных нами структурах доминирует рассеяние на ионизированных примесях, т. е.  $r=2$ . Учитывая это, после подстановки (10) в (6) получаем

$$L_T = \left( \frac{8}{3} \frac{k_B T \mu \tau_e}{e} \right)^{1/2}. \quad (11)$$

В данном выражении неизвестным является только параметр  $\tau_e$ . Значение  $\tau_e$  с весьма хорошей точностью можно оценить теоретически. Дело в том, что в исследованных структурах концентрация электронов достаточно велика, чтобы обеспечить максвеллизацию симметрической части функции распределения. В таком случае имеет место соотношение [6]

$$\tau_e = \frac{3\pi^{3/2} h^2}{2e^2 (mk_B \Theta)^{1/2}} \frac{1}{\chi_0^{-1} (\chi_\infty^{-1} - \chi_s^{-1})} \frac{\operatorname{sh} Z}{Z^{1/2} K_0(Z)}, \quad (12)$$

где  $Z = \Theta/2T$ ,  $\Theta$  — характеристическая температура оптических фононов,  $m$  — эффективная масса электронов,  $\chi_0$  — электрическая постоянная,  $\chi_\infty$  и  $\chi_s$  — относительная высокочастотная и статическая диэлектрическая проницаемости,  $K_0(Z)$  — функция Бесселя второго рода от мнимого аргумента. Учитывая то, что для  $n$ -GaAs  $m=0.067 m_0$ ,  $\Theta=417$  К,  $\chi_\infty=10.82$ ,  $\chi_s=12.53$ , и воспользовавшись данными рис. 1, из выражений (11) и (12) находим, что при температуре жидкого азота, и при комнатной температуре  $L_T \approx 0.1$  мкм. В области промежуточных температур имеется слабо выраженный минимум с минимальным значением  $L_T \approx 0.08$  мкм.

Сопоставление результатов расчета со значениями  $L_T$ , полученными путем обработки экспериментальных данных (см. подпись под рис. 3), показывает, что выражение (11) правильно предсказывает слабую зависимость этого параметра от температуры, но дает примерно пятикратно заниженные абсолютные его значения. В определенной степени это может быть обусловлено тем, что концентрация  $2 \cdot 10^{17}$  см $^{-3}$  недостаточна для полной максвеллизации функции распределения электронов, вследствие чего истинное значение  $\tau_e$  больше вычисленного по формуле (12), а также тем, что в выражении (11)  $\mu$  отражает микроподвижность, которая в неоднородных материалах может быть заметно больше, чем использованная нами холловская подвижность. Но этими двумя поправкамиряд ли можно объяснить столь большое расхождение теории с экспериментом. Учитывая приближенный характер использованной в наших оценках модели, более последовательный анализ физических причин количественного расхождения, по-видимому, можно провести только после строгого теоретического рассмотрения явления электронной теплопроводности в исследованных структурах.

Авторы выражают благодарность М. Котову за полезные советы при математическом описании модели.

#### Список литературы

- [1] Shur M. GaAs devices and circuits. N. Y.—London, 1987. 670 p.
- [2] Климовская А. И., Ситко О. В. // Письма ЖЭТФ. 1968. Т. 7. В. 6. С. 194—198.
- [3] Кокин А. А., Толстых В. И. // Микроэлектрон. 1985. Т. 14. В. 1. С. 30—34.
- [4] Канцлерис Ж., Твардаускас Г. // Лит. физ. сб. 1985. Т. 25. № 3. С. 81—87.
- [5] Охотин А. С., Пушкарский А. С., Горбачев В. В. Теплофизические свойства полупроводников. М., 1972. 200 с.
- [6] Зеегер К. Физика полупроводников. М., 1977. 616 с.